

# Transporte pela advecção de uma fonte de pulso senoidal e aplicação de filtros para a remoção do modo computacional

Alejandro H. D. Peralta\*

*Instituto de Astronomia, Geofísica e Ciências Atmosféricas da Universidade de São Paulo*

1 de outubro de 2022

## Resumo

A emissão de um poluente pode variar ao longo do tempo como no caso de uma chaminé que emite o pulso senoidal no campo básico com velocidade do vento constante. Este trabalho mostra os cálculos considerados para gerar resultados analíticos e numéricos (Euler progressivo-regressivo, leapfrog (2ª e 4ª ordem) e implícito como o esquema Crank-Nicolson). Alguns métodos numéricos geraram oscilações do modo computacional pelo que foram filtrados. Outros experimentos foram considerados para o método implícito com a variação da resolução do tempo  $\Delta t$  para obter diferentes números de Courant (CFL) para valores de 1, 2 e 4. A aproximação do ordem 1 é um importante esquema que não precisa de filtros devido à simplicidade do método. No entanto, o esquema é difusivo pelo que as concentrações são subestimadas se comparar com a solução analítica. Outros esquemas como leapfrog (2ª e 4ª ordem) e Crank-Nicolson geram resultados com oscilações que contradizem o fenômeno físico, pelo que a aplicação do filtros é importante para preservar a monotonicidade do fenômeno. Os resultados dos experimentos são importantes com fim de representar a realidade do fenômeno do transporte dos poluentes na atmosfera, como no caso dos modelos de qualidade do ar.

## 1. Introdução

As fontes de emissão podem variar ao longo do tempo como acontecem em diferentes atividades humanas como industriais, residencial e transporte rodoviário. O exercício 2 considera analisar uma fonte de poluição pontual (p.e., chaminé) que emite em forma de pulso senoidal com o mesmo campo básico de velocidade do vento ( $U = 10$  m/s) do exercício 1 (equação de advecção linearizada). Os cálculos consideram resultados da solução analítica e também dos métodos numéricos (Euler progressivo-regressivo, leapfrog 2ª ordem, leapfrog 4ª ordem no espaço e implícito como o esquema Crank-Nicolson). As condições iniciais do campo são nulos e somente a fonte pontual senoidal gera emissões na metade do domínio 1D. Alguns métodos numéricos geraram oscilações do modo computacional que foram filtrados. Outros experimentos foram considerados para o método implícito com a variação da resolução do tempo  $\Delta t$  para obter diferentes números de Courant (CFL) para valores de 1, 2 e 4. Os resultados dos experimentos são importantes para conhecer as aplicações dos filtros nos modelos eulerianos de qualidade do ar considerando que as unidades das concentrações dos poluentes sempre são positivas pelo que é importante preservar a monotonicidade física do fenômeno.

$$\frac{dC}{dt} = F(C, t) \quad (1)$$

$$C(t_{n+1}) = C(t_n) + \int_{t_n}^{t_{n+1}} F(C, t) dt \quad (2)$$

A aplicação de equações diferenciais ordinárias (ODEs, siglas em inglês) que descreve a evolução do poluente no tempo é mostrado na Eq. 1 que pode ser resolvido com a interpretação geométrica como mostra a Eq. 2, (Brasseur e

---

\*Estudante de doutorado, email [aperalta@usp.br](mailto:aperalta@usp.br)

33 **Jacob, 2017**). Além disso, o desenvolvimento do exercício 2 precisa das equações do movimento da onda ao longo do  
 34 tempo e espaço causado pela advecção desde a fonte. A forma geral para ondas transversais de propagação considera  
 35 a  $y = f(x - vt)$  onde  $v$  é a velocidade. As ondas harmônicas tem a forma de  $\sin(kx - \omega t)$  ou  $\cos(kx - \omega t)$  onde  
 36  $\omega = 2\pi/T$  para  $T$  como período e o número de onda  $k = \frac{2\pi}{\lambda}$  para  $\lambda$  como comprimento de onda em metros.

## 37 1.1 Filtros Robert-Asselin

38 Os filtros de Robert-Asselin podem remover oscilações do modo computacional para os esquemas como o método  
 39 leapfrog (**Doos et al., 2020**). Neste trabalho foram considerados os filtros no espaço (Eq. 3) e tempo (Eq. 4).

$$C_j = C_j + \gamma(C_{j-1} - 2C_j + C_{j+1}) \quad (3)$$

$$C^n = C^n + \gamma(C^{n-1} - 2C^n + C^{n+1}) \quad (4)$$

## 40 2. Descrição da metodologia

41 As equações do exercício 2 considera a fonte com pulso senoidal na metade do campo de advecção, governado pela  
 42 equação  $\frac{\partial C}{\partial t} + U \frac{\partial C}{\partial x} = F$  onde  $F = F(x, t)$ , considerando  $F(i = 100, n\Delta t) = \sin(\omega.n\Delta t)$  para  $n = 0, \dots, N_{max}$   
 43 se  $\sin(\omega.n\Delta t) > 0$  e  $F(i = 100, n\Delta t) = 0$  caso  $\sin(\omega.n\Delta t) < 0$  como  $\omega = \frac{2\pi}{1800} s^{-1}$ . A equação com derivadas  
 44 parciais foi transformada em equação diferencial ordinária com a solução geral (**Brasseur e Jacob, 2017**), com isso  
 45 temos  $\frac{dx}{ds} = U$ ,

$$\frac{dt}{ds} = 1 \quad (5)$$

$$\frac{dC}{ds} = F(x = 100, t). \quad (6)$$

46 Podemos encontrar a relação entre Equações 5, 6 como segue

$$dC = F(x = 100, t)dt$$

$$\int dC = \int_{t_n}^{t_{n+1}} F(x = 100, t) dt$$

$$C^{n+1} = C^n - \frac{1}{\omega} [\cos(\omega t_{n+1}) - \cos(\omega t_n)]. \quad (7)$$

47 Esta solução analítica pode ser propagada no espaço como  $f(x - U t)$ , considerando nosso caso que a propagação  
 48 acontece desde a metade da grade. Este trabalho considerou representar a solução analítica com a função da onda  
 49 harmônica,

$$C_x^{n+1} = C_x^n - \frac{1}{\omega} [\cos(-x k + \omega t_{n+1}) - \cos(-x k + \omega t_n)]$$

50 com isso, os resultados negativos foram removidos e substituídos por zero para preservar a monotonicidade do fenômeno  
 51 físico. A seção **Apêndice A** mostra um resumo das principais partes do código escrito para resolver os diferentes  
 52 esquemas numéricos. A discretização da fonte  $F(x = 100, t)$  segue uma aproximação tipo *Euler forward* a partir da  
 53 equação diferencial ordinária (**Brasseur e Jacob, 2017**),

$$\frac{dC}{dt} = F(C, t)$$

$$\frac{C^{n+1} - C^n}{\Delta t} = F(C^n, t_n)$$

onde  $\Delta t = t_{n+1} - t_n$  o passo de tempo no método numérico, então nós temos

$$C^{n+1} = C^n + \Delta t F^n.$$

Também temos como outra opção o esquema implícito trapezoidal como segue

$$C^{n+1} = C^n + \frac{\Delta t}{2} (F^{n+1} + F^n).$$

No esquema de segundo ordem como leapfrog, a discretização é a seguinte

$$C^{n+1} = C^{n-1} + 2 \Delta t F^n.$$

### 3. Resultados

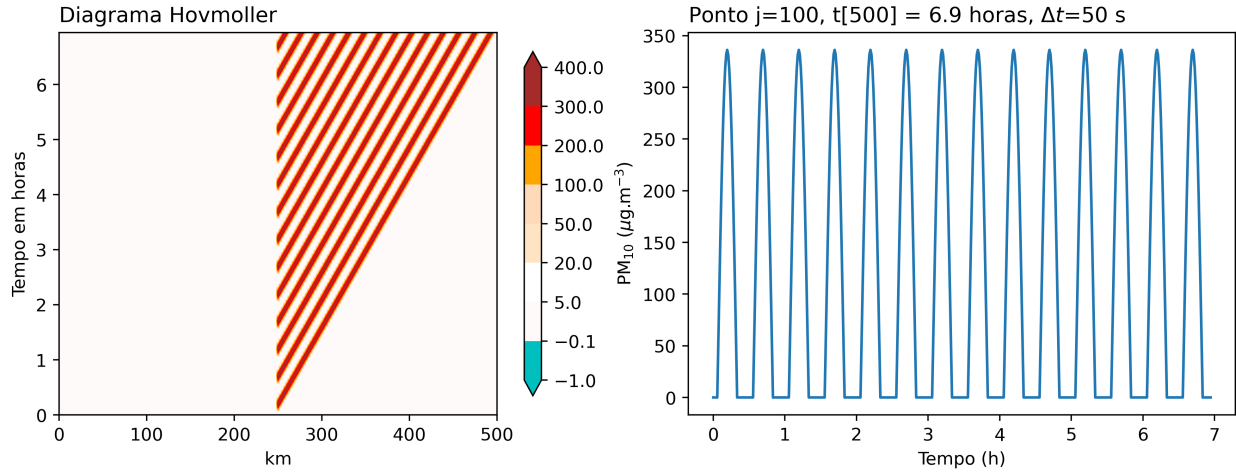


Figura 1: Diagrama Hovmoller da solução analítica (esquerda) e variação da fonte ao longo do tempo (direita).

Os resultados da propagação da fonte como solução analítica é mostrado no diagrama Hovmoller da Fig. 1, onde também podemos notar (direita da figura) a variação senoidal da fonte ao longo do tempo. A propagação acontece no lado direito do centro do domínio da grade devido à velocidade de sinal positivo. A magnitude da concentração é explicado devido à integração mostrada na Eq. 7. A solução analítica foi comparada com as aproximações numéricas mostradas na Fig. 2, os esquemas permitem que as perturbações possam sair do domínio sem que aconteça reflexão devido à implementação do esquema *Euler forward-backward* no final na direita da grade. O esquema de ordem 1 da figura mostra concentrações menores de propagação se comparar com a solução analítica. Os demais esquemas apresentam oscilações na retaguarda que é contraditório ao comportamento físico do fenômeno da advecção para a direita. Os resultados da direita do centro do domínio para o esquema de 4ª ordem mostram valores mais aproximados à solução analítica, no entanto com oscilações numéricas negativas. Então para tornar o resultado mais realista, a Fig. 3 mostra resultados onde os valores da esquerda do centro do domínio foram filtrados no tempo e espaço com as Equações 3, 4 de Robert-Asselin. Os resultados dos esquemas de leapfrog e Crank-Nicolson tem semelhanças no modo da propagação depois da filtragem.

Os resultados dos experimentos para valores de  $CFL \geq 1$  com o esquema Crank-Nicolson são mostrados na Fig. 4. A parte superior as aproximações apresentam oscilações na esquerda do centro da grade. Somente, a aplicação de filtros para remover as oscilações foi eficaz para  $CFL$  menores que 2. A aproximação com um  $\Delta t = 1000$  s gera instabilidade numérica.

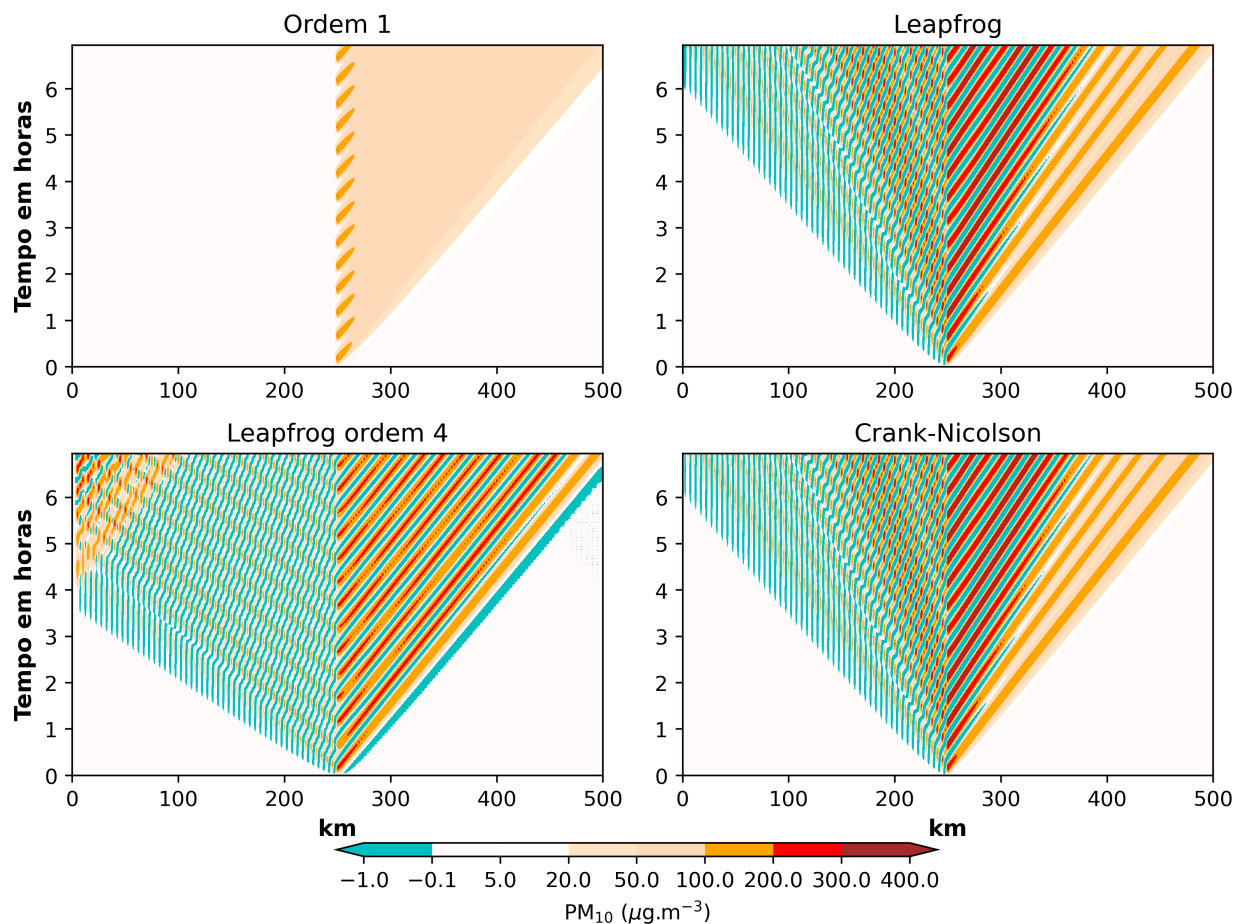


Figura 2: Soluções numéricas com diferentes esquemas para  $CFL = 0,2$ ,  $\Delta t = 100$  s.

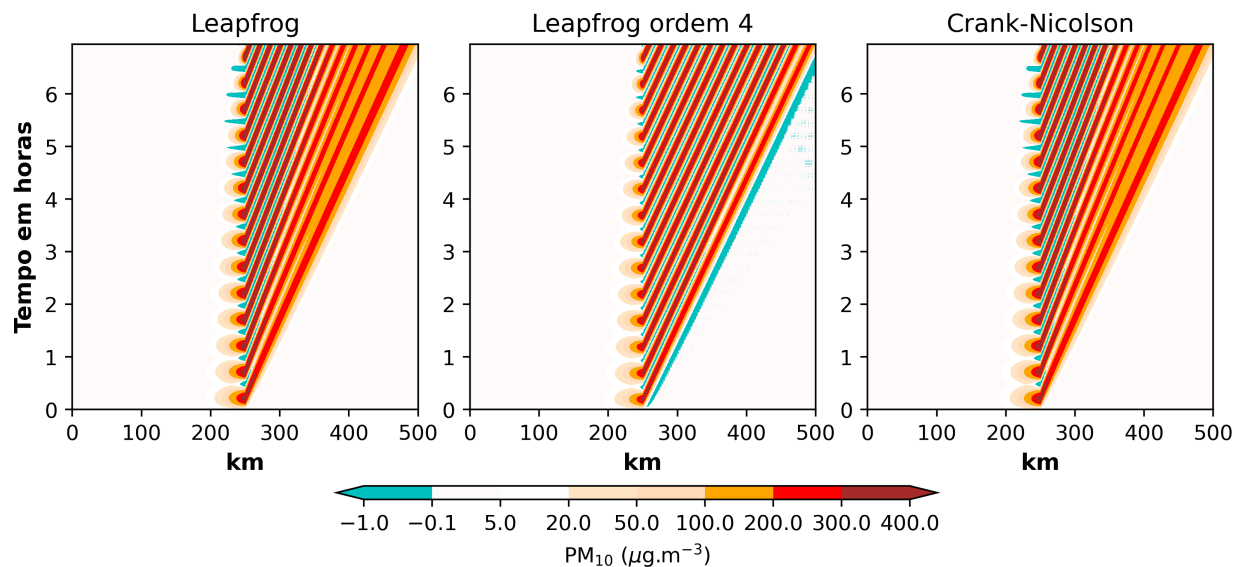


Figura 3: Soluções numéricas com aplicação de filtro no espaço e tempo.

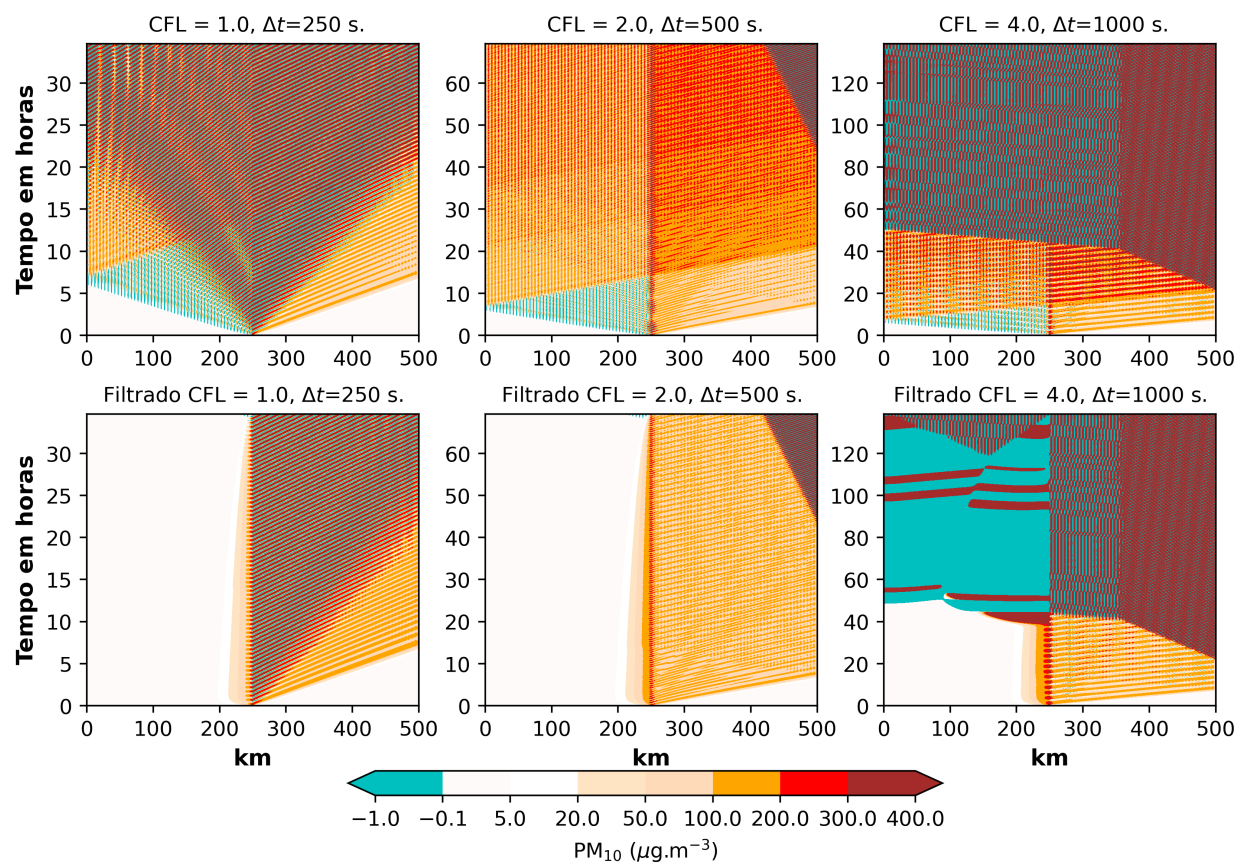


Figura 4: Variação do  $CFL \geq 1$  para o método implícito Crank-Nicolson.

## 4. Discussão dos resultados

A aproximação do ordem 1 progressivo no tempo e regressivo no espaço é um importante esquema que não precisa de filtros devido à simplicidade do método. No entanto, o esquema é difusivo pelo que as concentrações são subestimadas se comparar com a solução analítica. Outros esquemas como leapfrog (2ª e 4ª ordem) e Crank-Nicolson geram resultados com oscilações que contradizem o fenómeno físico da solução analítica, pelo que a aplicação do filtros no espaço e tempo é importante para preservar a monotonicidade do fenómeno.

## Bibliografia

- Brasseur, G.P., Jacob, D.J. (2017). Modeling of Atmospheric Chemistry, First. ed. Cambridge University Press. <https://doi.org/10.1017/9781316544754>
- Doos, K., Lundberg, P., Campino, A.A. (2020). Basic Numerical Methods in Meteorology and Oceanography, 1.ª ed. Department of Meteorology, Stockholm University, Stockholm.

## Apêndice A

A solução analítica considerou a aplicação da equação da onda harmônica como segue

```
Nx, dx, Nt, dt, U = 201, 2500, 501, 50, 10,
x, _ = np.linspace(0, (Nx-1)*dx, Nx, retstep = True)
t, _ = np.linspace(0, (Nt-1)*dt, Nt, retstep = True)
CFL = U*dt/dx
C_s = np.zeros((Nx, Nt))
T, X = np.meshgrid(t, x)

for n in range(1, Nt):
    om=2*np.pi/1800
    k= om/U
    j = int(100 + U*t[n]/dx)
    C_s[100:j, n] = C_s[100:j, n-1] - (np.cos(-x[100:j]*k + om*t[n])/om - \
        np.cos(-x[100:j]*k + om*t[n-1])/om)

C_s[C_s <= 0] = 0
```

A função do Euler progressivo no tempo e regressivo no espaço é mostrado em Python a continuação

```
C = np.zeros((Nx, Nt))
F = C.copy()

def euler_back(C, n, CFL, dt, F):
    C[1:, n] = C[1:, n-1] + F[1:, n-1]*dt - CFL*(C[1:, n-1]- C[:-1, n-1])
    return C

for n in range(1, Nt):
    F[100, n-1] = wave(t, n-1)
    # advecção ordem 1
    C = euler_back(C, n, CFL, dt, F)
```

para C como matriz de Nx e Nt pontos de grade no espaço e tempo, respetivamente. O exercício 1 considerou uma resolução espacial  $\Delta x = 5000$ ; mas para representar o comprimento de onda, a resolução mudou para  $\Delta x = 2500$  e um  $\Delta t = 50$  segundos. A função leapfrog considera para o primer passo de tempo o esquema Euler progressivo-regressivo, depois o código considera o modo radiacional:

```
def leap2(C, n, CFL, dt, F, f_space=False, f_time = False, alfa=0.105):
    if n == 1:
```

```

# Euler
C = euler_back(C, n, CFL, dt, F)

elif n > 1:
    C[1:-1,n] = C[1:-1,n-2]+2*dt*F[1:-1,n-1]-CFL*(C[2:, n-1]-C[:-2,n-1])
    # radiacional
    C[-1, n] = C[-1, n-1] + F[-1,n-1]*dt - CFL*(C[-1, n-1]- C[-2, n-1])

# Filtro Robert-Asselin
C = filtro(C, alfa, f_space, f_time)

return C

```

```

C_l = np.zeros((Nx, Nt))
C_lf = C_l.copy()
F = C_l.copy()

for n in range(1, Nt):
    F[100,n-1] = wave(t,n-1)
    C_l = leap2(C_l, n, CFL, dt, F, f_space=False, f_time = False, alfa=0.105)

    C_lf = leap2(C_lf, n, CFL, dt, F, f_space=True, f_time=True)

```

93 A continuação a função de leapfrog 4ª ordem mostra os modos radiacionais com aplicação de Euler no primeiro passo  
94 de tempo:

```

def ordem4(C,n, CFL, dt, F, f_space=False, f_time = False, alfa=0.105):
    # Aprox leapfrog 4a ordem
    # -----
    if n == 1:
        # Euler
        C = euler_back(C, n, CFL, dt, F)

    elif n > 1:
        C[2:-2, n] = C[2:-2,n-2] + F[2:-2,n-1]*2*dt - /
            CFL/6*(C[:-4,n-1] - 8*C[1:-3,n-1] + 8*C[3:-1,n-1] - C[4:,n-1])
        # radiacional
        C[-2, n] = C[-2, n-1] + F[-2,n-1]*dt - CFL*(C[-2, n-1] - C[-3, n-1])
        C[-1, n] = C[-1, n-1] + F[-1,n-1]*dt - CFL*(C[-1, n-1] - C[-2, n-1])

    # Filtro Robert-Asselin
    C = filtro(C, alfa, f_space, f_time)

    return C

C_4o = np.zeros((Nx, Nt))
C_4of = C_4o.copy()
F = C_4o.copy()

for n in range(1, Nt):
    F[100,n-1] = wave(t,n-1)
    # Não filtrado
    C_4o = ordem4(C_4o,n, CFL, dt, F)
    # Filtrado
    C_4of = ordem4(C_4of,n, CFL, dt, F, f_space=True, f_time=True)

```



95 Finalmente, o método implícito escolhido é o esquema Crank-Nicolson com as seguintes funções:

```
def crank_matrix(CFL, x, uc=0.5):
    import scipy.sparse as sp
    uns = np.ones(len(x))
    r = uns*CFL/2
    diags = (-1, 0, 1) # -1 low diagonal, 0 main diagonal, 1 upper diagonal
    A = sp.spdiags( [-uc*r, uns, uc*r], diags, len(x), len(x) )
    A = (sp.lil_matrix(A)).tocsr()
    B = sp.spdiags( [(1-uc)*r, uns, -(1-uc)*r], diags, len(x), len(x) )
    B = (sp.lil_matrix(B)).tocsr()

    return A, B

def crank(A, B, C, n, CFL, f_space=False, f_time = False, alfa=0.105):
    C[:, n] = spsolve(A, B*C[:, n-1])
    C[-1, n] = C[-1, n-1] - CFL*(C[-1, n-1] - C[-2, n-1])

    # Filtro Robert-Asselin
    C = filtro(C, alfa, f_space, f_time)

    return C
```

96 Com o fim de preservar a função de resolução do esquema Crank-Nicolson, a fonte discretizada foi sumada ao campo  
97 nulo, escrito em Python como segue:

```
C_cr = np.zeros((Nx, Nt))
C_crf = C_cr.copy()
F = C_cr.copy()
A, B = crank_matrix(CFL, x)

for n in range(1, Nt):
    F[100, n-1] = wave(t, n-1)
    C_cr[:, n-1] = C_cr[:, n-1] + dt*F[:, n-1]
    C_cr = crank(A, B, C_cr, n, CFL, f_space=False, f_time = False)

    C_crf[:, n-1] = C_crf[:, n-1] + dt*F[:, n-1]
    C_crf = crank(A, B, C_crf, n, CFL, f_space=True, f_time = True)
```

98 Finalmente, o seguinte código em Python mostram os filtros Robert-Asselin que removem o modo computacional. Neste  
99 trabalho, somente foi aplicado até a metade da grade devido a que o filtragem afeta significativamente os resultados de  
100 advecção da fonte.

```
def filtro(C, alfa, f_space=False, f_time=False):
    """Filtro Robert-Asselin para remover o modo computacional

    Args:
        C (array): Campos nulos com a emissão na metade
        n (int): passo de tempo
        alfa (float, optional): Coeficiente.
        f_space (bool, optional): Filtro no espaço. Defaults to False.
        f_time (bool, optional): Filtro no tempo. Defaults to False.

    Returns:
        array: valores de C filtrados
    """
```



```

# Filtro Asselin desde a metade da grade
if f_space == True:
    C[1:100,:] = C[1:100, :] + alfa*(C[:,99,:] - 2*C[1:100, :] + C[2:101, :])

if f_time == True:
    C[:,100,1:-1] = C[:,100,1:-1]+alfa*(C[:,100,:-2] - 2*C[:,100,1:-1] + C[:,100,2:])

else:
    pass

return C

```